

Источники постоянного тока на операционных усилителях

В. Ф. БОРИСОВ, С. П. ДАШУК, О. А. КОМШИЛОВ, Д. Н. ЮРКИН

Приведены результаты анализа схем источников постоянного тока на операционных усилителях с точки зрения их внутреннего сопротивления и погрешности формирования выходного тока.

The results of the analysis of the circuits of a constant-current sources on operational amplifiers from the point of view of an error of formation of an output current and value of internal resistance are given.

В источниках постоянного тока (ИТ) для поверки электрометрической аппаратуры, как правило, применяют два метода формирования тока с заданными метрологическими характеристиками: резистивный и метод интегратора-дифференциатора (ИД) [1]. Для токов не менее 10^{-8} А, как правило, используют резистивный метод, а для меньших токов — метод ИД.

Указанное деление вызвано тем, что минимальная сила тока для резистивного метода в основном ограничена максимальным сопротивлением токозадающего точного резистора. Так, для отечественной промышленности это резистор типа С5-50 — 500 МОм $\pm 0,2\%$ и температурным коэффициентом сопротивления (ТКС), равным $\pm 25 \cdot 10^{-6}$ К $^{-1}$; параметры некоторых зарубежных высокоменных прецизионных резисторов приведены в табл. 1. Кроме того, формирование выходного тока заданной силы ограничено напряжением опорного источника, которое по ряду конструктивных и технических причин находится в диапазоне 0,1—100 В. В свою очередь, метод ИД требует сравнительно сложного устройства как с конструктивной, так и со схемотехнической точек зрения. Поэтому представляет практический интерес реализация ИТ на операционных усилителях (ОУ), что позволяет устранить перечисленные выше противоречия, а именно: совместить требования высокого выходного сопротивления ИТ и относительно низкоменных резисторов в схеме.

В табл. 2 приведены результаты анализа некоторых схем ИТ на операционных усилителях [2—6], где

$$\delta I_1 = \frac{I_H(\delta) - I_H(0)}{I_H(0)} = \frac{1}{I_H(0)} \sum_j \left| \frac{\partial I_H}{\partial R_j} \right| \Delta R_j \quad \text{— относительная погрешность установки тока; } I_H(\delta) \text{ — ток в нагрузке для}$$

случая, когда отклонения значений сопротивлений резисторов рассматриваемой схемы $\delta R_j = \frac{\Delta R_j}{R_j} \neq 0$; R_j — номинальное значение сопротивления j -го резистора и ΔR_j — отклонение от его номинального значения; $I_H(0) \equiv I_H$ при $\delta R_j = 0$; $R_i = |R_H / \delta I_2|$ — внутреннее сопротивление источника тока; R_H — сопротивление нагрузки; $\delta I_2 = \frac{I_{H1} - I_{H2}}{I_{H2}} = \approx \delta I_1 \Big|_{R_H=0}$; I_{H1} — ток в нагрузке при $R_H \neq 0$; I_{H2} — ток в нагрузке при $R_H = 0$.

Приведенные в табл. 2 соотношения были получены без учета влияния на выходные характеристики ИТ параметров ОУ и внутреннего сопротивления источника U_o . Поэтому для проверки приемлемости принятых допущений и возможности практического осуществления ИТ с характеристиками $I_H = 10^{-8}, 10^{-7}, \dots, 10^{-3}$ А и $R_i = 10^{10}, 10^9, \dots, 10^5$ Ом (на соответствующих поддиапазонах) был разработан и изготовлен макет второй схемы ИТ (см. табл. 2). Данная схема содержит минимальное количество радиокомпонентов, обеспечивающих заданные технические требования. В схеме использованы: ОУ1, ОУ2 — 140УД24; $R_1 = R_2 = 80$ кОм $\pm 0,03\%$; $R_3 = R_4 = 50$ кОм $\pm 0,03\%$; сопротивление резисторов R_5 в зависимости от поддиапазонов установки тока указано в табл. 3; все резисторы типа С5-50; $U_o = 0,008 \dots 8$ В.

Таблица 1

Параметры некоторых зарубежных прецизионных резисторов

Фирма-изготовитель	Тип резистора	Диапазон сопротивлений, Ом	Допускаемое отклонение, %	ТКС, мкК $^{-1}$	Диапазон температур, °C
CADDICK	TF 656 TG 1015 MG 815	$(10,01 \dots 125) \cdot 10^6$ $6 \cdot 10^6 \dots 10^9$ $10^3 \dots 10^{10}$	$\pm (0,01 \dots 1)$ $\pm 1; (\pm 0,1^*)$ $\pm (0,1 \dots 1)$	± 5 ± 25 ± 80	$-15 \dots +105$ $-55 \dots +125$ $-15 \dots +105$
OHMCRAFT	HVR5 HVR5 HVR5	$200 \cdot 10^6$ $500 \cdot 10^6$ $1 \cdot 10^9$	$\pm 0,1$ $\pm 0,1$ $\pm 0,5$	± 25 ± 25 ± 25	$0 \dots 125$ $0 \dots 125$ $0 \dots 125$

* Резисторы с допуском $\pm 0,1\%$ изготавливают только по заказу.

Таблица 2

Анализ некоторых схем ИТ на операционных усилителях

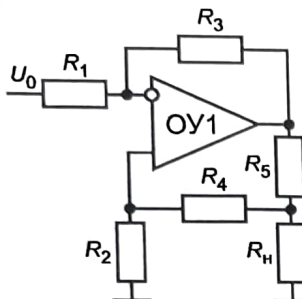
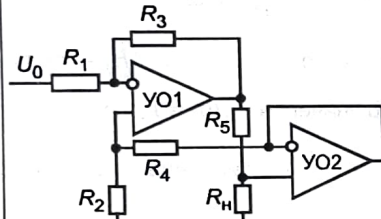
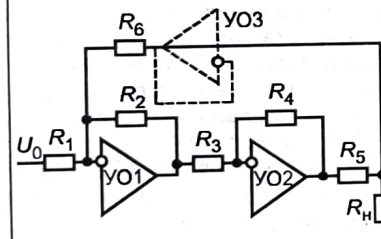
Схема источника тока (ИТ)	Выражение для I_H		$\delta I_1 = \left \frac{I_H(\delta) - I_H(0)}{I_H(0)} \right $	$R_i = \left \frac{R_H}{\delta I_2} \right $
	общее	частное		
1.  [4, с. 70]	$I_H = -U_0 R_3 (R_2 + R_4) \times [R_1 R_5 (R_2 + R_4) + R_H \times (R_1 R_4 + R_1 R_5 - R_2 R_3)]^{-1}$	$I_H = -U_0 \frac{R_3}{R_1 R_5}$ при $R_2 R_3 = R_1 (R_4 + R_5)$	$\delta I_1 = \delta R_1 (1 + \alpha \beta) + \delta R_2 \alpha \beta + \delta R_3 (1 + \alpha \beta) + \delta R_4 \alpha \beta + \delta R_5 (1 + \alpha)$ где $\alpha = \frac{R_H}{R_2 + R_4}$; $\beta = \frac{R_4}{R_5} + 1$	$R_i = \frac{R_2 + R_4}{\delta R (1 + 4\beta)}$, где $\delta R_1 = \delta R_2 = \delta R_3 = \delta R_4 = \delta R_5 = \delta R$
2.  [4, с. 72]	$I_H = -U_0 R_3 (R_2 + R_4) \times [R_1 R_5 (R_2 + R_4) + R_H (R_1 R_4 - R_2 R_3)]^{-1}$	$I_H = -U_0 \frac{R_3}{R_1 R_5}$ при $R_1 R_4 = R_2 R_3$	$\delta I_1 = \delta R_1 (1 + \alpha \beta) + \delta R_2 \alpha \beta + \delta R_3 (1 + \alpha \beta) + \delta R_4 \alpha \beta + \delta R_5$ при $\alpha = \frac{R_H}{R_2 + R_4}$, $\beta = \frac{R_4}{R_5}$	$R_i = \frac{R_2 + R_4}{\delta R 4\beta}$, где $\delta R_1 = \delta R_2 = \delta R_3 = \delta R_4 = \delta R$
3.  [3, с. 249; 6, с. 172]	$I_H = U_0 k_1 k_2 R_6 \times [R_5 R_6 + R_H (R_5 + R_6 - k_2 R_2)]^{-1}$ где $k_1 = R_2 / R_1$; $k_2 = R_4 / R_3$	$I_H = U_0 \frac{k_1 k_2}{R_5}$ при $R_2 R_4 = R_3 (R_5 + R_6)$	$\delta I_1 = \delta R_1 + \delta R_2 \left(1 - \frac{R_H}{Z} \right) + \delta R_3 \left(1 + \frac{R_H}{Z} \right) + \delta R_4 \left(1 - \frac{R_H}{Z} \right) + \delta R_5 \left(1 + \frac{R_H}{R_6} \right) + \delta R_6 \frac{R_H}{R_5}$ где $Z = \frac{R_5 R_6}{R_5 + R_6}$	$R_i = \frac{Z}{4\delta R}$, где $\delta R_2 = \delta R_3 = \delta R_4 = \delta R_5 = \delta R_6 = \delta R$
4. Схема 3 + УОЗ [5, с. 76]	$I_H = U_0 k_1 k_2 R_6 \times [R_5 R_6 + R_H (R_6 - k_2 R_2)]^{-1}$ где $k_1 = R_2 / R_1$; $k_2 = R_4 / R_3$	$I_H = U_0 \frac{k_1 k_2}{R_5}$ при $R_2 R_4 = R_3 R_6$, $R_6 = k_2 R_2$	$\delta I_1 = \delta R_1 + \delta R_2 \left(1 - \frac{R_H}{R_5} \right) + \delta R_3 \left(1 + \frac{R_H}{R_5} \right) + \delta R_4 \left(1 - \frac{R_H}{R_5} \right) + \delta R_5 + \delta R_6 \frac{R_H}{R_5}$	$R_i = \frac{R_5}{4\delta R}$, где $\delta R_2 = \delta R_3 = \delta R_4 = \delta R_6 = \delta R$

Схема источника тока (ИТ)	Выражение для I_H		$\delta I_1 = \left \frac{I_H(\delta) - I_H(0)}{I_H(0)} \right $	$R_i = \left \frac{R_H}{\delta I_2} \right $
	общее	частное		
5.	$I_H = U_0 k_1 R_6 (R_5 R_6 + R_H \times [(R_5 R_6 / R_3 + R_6) - k_2 R_2])^{-1}$, где $k_1 = R_2 / R_1$; $k_2 = R_4 / R_3$ <p>[4, с. 72]</p>	$I_H = U_0 k_1 / R_5$ при $R_2 R_4 = (R_3 + R_5) R_6$	$\delta I_1 = \delta R_1 + \delta R_2 \left(1 - \frac{R_H}{Z} \right) + \delta R_3 \frac{R_H}{R_5} + \delta R_4 \frac{R_H}{Z} + \delta R_5 \left(1 + \frac{R_H}{R_3} \right) + \delta R_6 \frac{R_H}{Z}$, где $Z = \frac{R_3 R_6}{R_3 + R_5}$	$R_i = \frac{Z}{4\delta R}$, где $\delta R_2 = \delta R_3 = \delta R_4 = \delta R_5 = \delta R_6 = \delta R$
6.	$I_H = U_0 k_1 R_6 [R_5 R_6 + R_H \times (R_6 - k_2 R_2)]$, где $k_1 = R_2 / R_1$; $k_2 = R_4 / R_3$ <p>Схема 5 + YO3 [3, с. 249]</p>	$I_H = U_0 k_1 / R_5$ при $R_2 R_4 = R_3 R_6$	$\delta I_1 = \delta R_1 + \delta R_2 \left(1 - \frac{R_H}{R_5} \right) + \delta R_3 \frac{R_H}{R_5} + \delta R_4 \frac{R_H}{R_5} + \delta R_5 + \delta R_6 \frac{R_H}{R_5}$	$R_i = \frac{R_5}{4\delta R}$, где $\delta R_2 = \delta R_3 = \delta R_4 = \delta R_6 = \delta R$
7.	$I_H = U_0 k_2 (1 + k_1) - \frac{R_5}{R_6} \times [R_5 + R_H \left(1 + \frac{R_5}{R_6} - k_1 k_2 \right)]^{-1}$, где $k_1 = R_2 / R_6$; $k_2 = R_4 / R_3$ <p>[3, с. 249]</p>	$I_H = U_0 \frac{1+k_2}{R_5}$ при $k_1 k_2 = 1 + \frac{R_5}{R_6}$	$\delta I_1 = \delta k_2 \left[\frac{k_2}{1+k_2} - \left(1 + \frac{R_2}{R_6} \right) + \frac{R_H}{Z} \right] + \delta R_2 \left[\frac{k_2}{1+k_2} \frac{R_2}{R_6} + \frac{R_H}{Z} \right] + \delta R_5 \left[\frac{k_2}{1+k_2} \left(1 + \frac{R_2}{R_6} \right) + \frac{R_H}{R_6} \right] + \delta R_6 \left[\frac{1}{1+k_2} + \frac{R_H}{R_5} \right];$ $Z = \frac{R_5 R_6}{R_5 + R_6}$	$R_i = \frac{Z}{3\delta R}$, где $\delta k_2 = \delta R_2 = \delta R_5 = \delta R_6 = \delta R$
8.	$I_H = U_0 \frac{k_2 (1 + k_1)}{R_5 + R_H (1 - k_1 k_2)}$, где $k_1 = R_2 / R_6$; $k_2 = R_4 / R_3$ <p>Схема 7 + YO3</p>	$I_H = U_0 \frac{1+k_2}{R_5}$ при $k_1 k_2 = 1$	$\delta I_1 = \delta k_2 \left(1 + \frac{R_H}{R_5} \right) + \delta R_2 \left(\frac{1}{1+k_2} + \frac{R_H}{R_5} \right) + \delta R_5 + \delta R_6 \left(\frac{1}{1+k_2} + \frac{R_H}{R_5} \right)$	$R_i = \frac{R_5}{3\delta R}$, где $\delta k_2 = \delta R_2 = \delta R_6 = \delta R$

Внутреннее сопротивление ИТ вычисляли по схеме рис. 1, где в качестве вольтметра использовали универсальный цифровой вольтметр В7-34 с диапазоном измерения 1 мВ — 1000 В; $R_{вх} = 2 \cdot 10^{10}$ Ом на пределах 0,1 и 1 В; сопротивления R_{61} и R_{62} для соответствующих поддиапазонов приведены в табл. 3. Выходное сопротивление ИТ вычисляли по формуле

$$R_i \approx \left| \frac{R_{61}}{\Delta U / U_1} \right|,$$

где $\Delta U = U_1 - U_2$; U_1, U_2 — показания вольтметра соответственно при закороченном и разомкнутом ключе.

Таблица 3
Экспериментальные значения выходных сопротивлений ИТ

Поддиапазон выходного тока, А	R_s , Ом	R_{61} , Ом	R_{62} , Ом	R_i , Ом
10^{-8}	$2 \cdot 10^8$	$3,6 \cdot 10^7$	$3,6 \cdot 10^6$	$3 \cdot 10^{10}$
10^{-7}	$2 \cdot 10^7$	$3,6 \cdot 10^6$	$3,6 \cdot 10^5$	$4 \cdot 10^9$
10^{-6}	$2 \cdot 10^6$	$3,6 \cdot 10^5$	$3,6 \cdot 10^4$	$3,2 \cdot 10^8$
10^{-5}	$2 \cdot 10^5$	$3,6 \cdot 10^4$	$3,6 \cdot 10^3$	$4 \cdot 10^7$
10^{-4}	$2 \cdot 10^4$	$3,6 \cdot 10^4$	$3,6 \cdot 10^3$	$6 \cdot 10^6$
10^{-3}	$2 \cdot 10^3$	$3,6 \cdot 10^4$	$3,6 \cdot 10^3$	$5 \cdot 10^6$

Результаты испытания макета показали, что максимальная относительная погрешность установки выходного тока в указанных выше поддиапазонах составляет не более 0,2 %, а экспериментальные значения выходных сопротивлений ИТ для допускаемых отклонений применяемых резисторов приведены в табл. 3.

Кроме того, с целью проверки зависимости выходного сопротивления схемы ИТ от δ_R одного из резисторов $R_1—R_4$ (см. табл. 2) сопротивлению резистора R_1 были даны приращения ΔR и далее определены соответствующие значения R_i , при этом $\delta_{R_2} \approx \delta_{R_3} \approx \delta_{R_4} \approx 0,0001$. Результаты этих испытаний приведены на рис. 2. Из анализа данных результатов следует, что соответствующим подбором резисторов схемы в пределах чувствительности применяемого вольтметра, даже при использовании сравнительно низкоомных резисторов, можно получить высокое выходное сопротивление порядка $10^9—10^{10}$ Ом. При этом температурная нестабильность схемы составляет около 1 мкВ/К.

ЛИТЕРАТУРА

1. Рождественская Т. Б., Антонова Д. И., Жутовский В. Л. Аппаратура для точного измерения больших сопротивлений, малых токов и методы ее поверки. — М.: Изд-во стандартов, 1973.

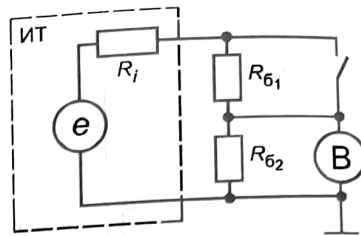


Рис. 1. Схема определения внутреннего сопротивления источника тока ИТ

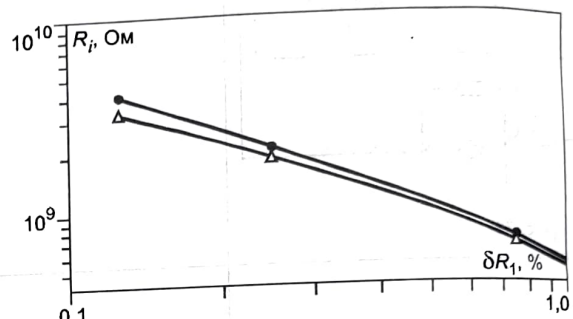


Рис. 2. Зависимость внутреннего сопротивления ИТ от отклонения сопротивления резистора:
• — расчет; Δ — эксперимент

2. Алексенко А. Г., Коломбет Е. А., Стародуб Г. И. Применение прецизионных аналоговых микросхем. — М.: Радио и связь, 1985.

3. Грэм Дж., Тоби Дж., Хьюстон Л. Проектирование и применение ОУ / Пер. с англ. — М.: Мир, 1974.

4. Гутников В. С. Интегральная электроника в измерительных устройствах. — Л.: Энергоатомиздат, 1988.

5. Стабильный источник тока // Электроника. — 1979. — Т. 17. — С. 76.

6. Титце У., Шенк К. Полупроводниковая схемотехника / Пер. с англ. — М.: Мир, 1982.

Дата одобрения 19.10.2000 г.